

تحضير وتشخيص بعض مركبات 5-ثنائي المعارض-4،3،1- اوكساداياتازول الجديدة المشتقة من حامض الدياكلوفيناك وتقدير فعاليتها المضادة للبكتيريا

محمد حسن احمد *، فاضل داود خالد

قسم الكيمياء، كلية العلوم، جامعة تكريت (alhayta.chem@gmail.com)

البحث متصل من رسالة ماجستير الباحث الاول

الخلاصة:**معلومات البحث:**

تم في هذا البحث تحضير وتشخيص بعض مركبات 5-ثنائي المعارض-4،3،1- اوكساداياتازول المشتقة من حامض الدياكلوفيناك (H_1). حيث تضمن العمل تحضير الاستر المثيلي لحامض الدياكلوفيناك (H_2) من معقعلته مع الميثانول بطريقة فشر ثم تحويل الاستر المذكور الى هيدرازيد الحامض المقابل (H_3) ثم معقولة هذا الهيدرازيد مع بعض الحوامض الكاربووكسيلية بوجود اوكسي كلوريد الفسفور للحصول على مشتقات 5,2-ثنائي المعارض-43،1- اوكساداياتازول (H_4-H_7). ثم معقولة المركب (H_7) مع بعض الامينات الأولية للحصول على مركبات 5,2-ثنائي المعارض-4،3،1- اوكساداياتازول امين (H_8-H_{12}). وقد شخصت هذه المركبات باستخدام تقنيات 1H -NMR و FT-IR و ^{13}C -NMR علاوة على قياس درجات الانصهار لها أظهرت نتائج التقييم الأولية لفعاليتها البيولوجية ضد نوعين من البكتيريا، الاولى (*Pseudomonas aeruginosa*), والثانية (*Staphylococcus aureus*) بأن للمركبات المحضرة (H_4 ، H_6 ، H_{11} ، H_{12}) فعالية تثبيطية متوسطة غالباً ضد هذين النوعين، بينما لوحظ بأن المركبات (H_7 ، H_8 ، H_9 ، H_{10}) فعالية تثبيطية جيدة ضدهما على الاغلب، وكلاهما مقارنة بالمتطلب القياسي المستعمل.

تأريخ الاستلام: 2020/03/09
تأريخ القبول: 2020/06/15

الكلمات المفتاحية:

دايكلوفيناك، اوكساداياتازول، حلقات غير متتجانسة، امينات.

المقدمة:

الاوكساداياتازولات هي مركبات حلقة خماسية غير متتجانسة يمكن اعتبارها مشتقات للفيوران بعد استبدال مجموعتي (-CH=) بذرتي نايتروجين (N=N-) وكما معروف فإن هذه المركبات التي تحتوي على النتروجين والاوكسجين تستخدم في الطب لعلاج أنواع مختلفة من الالتهابات البكتيرية والفطرية وقرحة المعدة وبعض أنواع السرطان [1]. حيث ان مشتقات 4،3،1- اوكساداياتازول لها فعالية واسعة ضد البكتيريا [2]، ومضادات للمalaria [3]، ومضادات الالتهاب [4]، ومضادات للفطريات [5] ومضادات للاخلاق [6]. وقد وجد بان المجموعات الحاملة لمجموعة أميد اسهمت في خفض النشاط الحيوي لبعض الخلايا السرطانية [7]، بينما مشتقات اوكساداياتازول امين فتصنف بكونها مضادات للالتهابات، والبكتيريا، والفطريات وسرطان الكبد [8،9]، حيث وجد أن لها فعالية بيولوجية ملحوظة ضد البكتيريا المسببة لحمى التيفوئيد [10]. لقد وردت طرائق عديدة في الادبيات لتحضير مشتقات 4،3،1- اوكساداياتازول منها تفاعل الحامض الكاربووكسيلي او كلوريد الحامض مع الهيدرازيد او الهايدرازين بوجود عامل مجفف مثل اوكسي كلوريد الفسفور [11]، او كلوريد الثاينونيل [12]، او خماسي كلوريد الفسفور [13]، او بولي حامض الفسفوريك، او حامض الكبريتيك [14]. والطريقة الأكثر شيوعا وهي التي اتبعت في هذا البحث هي تفاعل حrolقة مباشر بين الهايدرازيد مع الحامض الكاربووكسيلي بوجود اوكسي كلوريد الفسفور. وبما أن العديد من الاصناف البكتيرية والفطرية تتطور باستمرار بحيث تقاوم الكثير من المضادات الحيوية الكلاسيكية المستعملة في علاجها، لذا كان الهدف من هذا البحث هو المتابعة والاستمرار في تحضير مركبات جديدة ذات فعالية بيولوجية متوقعة بأن تعمل على تثبيط عمل هذه البكتيريا والفطريات، وذلك بإضافة مجموعات فعالة الى نواة حامض الدياكلوفيناك وتقدير هذه المركبات المحضرة باليولوجياً لمعرفة قوّة تأثيرها على بعض هذه الأنواع المذكورة آنفًا.

جميع المواد المستخدمة في هذا البحث من انتاج شركات (Sigma Aldrich , Alfa Aesar , Fluka , BDH , Merck).

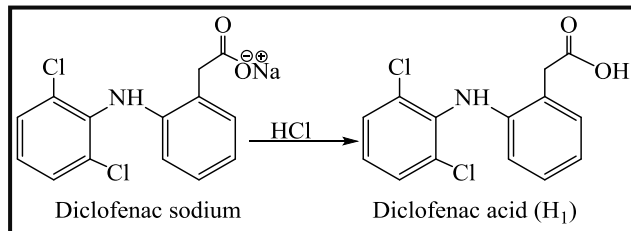
الأجهزة المستخدمة

قياس درجات الانصهار تم بوساطة جهاز ماركة (Stuart melting point apparatus). وأطيف الاشعة تحت الحمراء تم تسجيلها باستعمال أقراص بروميد البوتاسيوم (KBr) بوساطة جهاز (Shimadzu FT-IR 8400). وطيف الرنين النووي المغناطيسي (البروتون) ($^1\text{H-NMR}$) و (الكاربون) ($^{13}\text{C-NMR}$) بوساطة جهاز (- BRUKER Ascend™-) مذكورة في قياس طيف البروتون، واستعمال (CDCl_3) مذكورة في قياس طيف الكربون (500MHz) واستخدام (d^6-DMSO) مذكورة في قياس طيف البروتون، واستعمال (154MHz) مذكورة في قياس طيف الكربون.

طرق العمل

1. تحضير حامض الديكلوفيناك (H_1) من ملح الصوديوم المقابل [15]

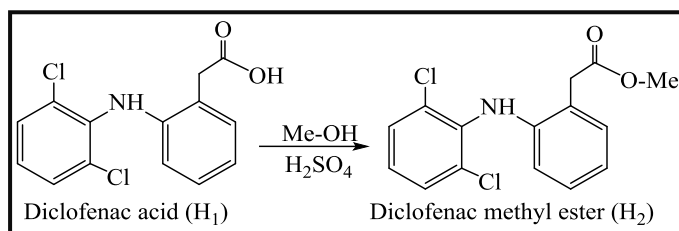
تم اذابة (9.5gm , 0.03mol) من ملح الصوديوم لحامض الديكلوفيناك في اقل كمية من الماء المقطر مع التحريك المغناطيسي المستمر بعدها تم إضافة كمية مكافئة من حامض الهيدروكلوريك بتراكيز (4N) على شكل قطرات حيث ظهر راسب أبيض من حامض الديكلوفيناك على الفور كونه لا يذوب في الماء، رُشح محلول تحت الضغط المخلل بعدها تم غسله بالماء المقطر البارد وجفف في درجة حرارة الغرفة. إذ تكون راسب أبيض درجة انصهاره (154-156°C) وفي الابيات [15] (153-154°C) بنسبة ناتج (98%) ، مخطط 1.



مخطط 1: تحضير حامض الديكلوفيناك (H_1)

2. تحضير الإستر الميثيلي لحامض الديكلوفيناك (H_2) [16]

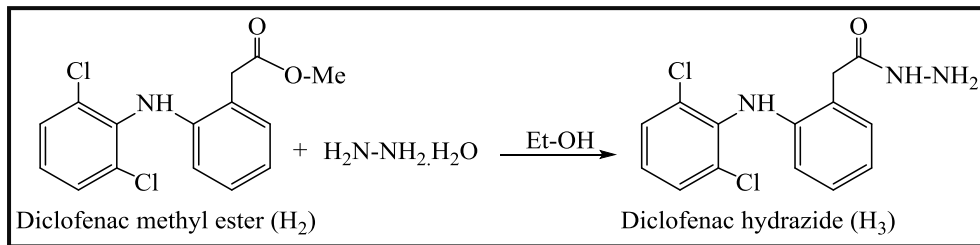
أذيب (8.9gm , 0.03mol) من الحامض (H_1) في زيادة من الكحول الميثيلي (60ml) ، وأضيف له تدريجياً مع التحريك (3ml) من حامض الكبريتيك المركز ثم صعد المزيج مدة (6) ساعات، وبعدها تم معادلة حامض الكبريتيك بمحلول بيكربونات الصوديوم (10%) حيث ترسب الإستر على الفور، رُشح الراسب وغسل وجفف في درجة حرارة الغرفة وتم إعادة بلورته من الإيثanol المطلق. إذ تكون راسب اصفر باهت درجة انصهاره (96-98°C⁰) وفي الابيات [17] (97-99°C⁰) وبنسبة ناتج (70%) ، مخطط 2.



مخطط 2: تحضير الإستر الميثيلي لحامض الديكلوفيناك (H_2)

3. تحضير هايبرازيد حامض الديكلوفيناك (H_3) [16]

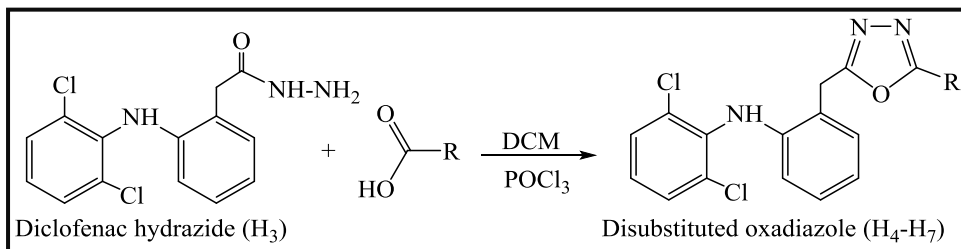
تم اذابة (6.2gm , 0.02mol) من المركب (H_2) في 25ml من الإيثanol المطلق وأضيف إليه 35ml من الهيدرازين المائي 80%， تم تصعيد مزيج التفاعل مدة 5 ساعات حيث تحول لون محلول إلى لون اصفر خفيف، تم ترکيز محلول الى النصف، وبعدها برد المزيج وأضيف له ماء مقطر بارد، حيث تكون راسب أبيض مباشرة. رُشح الراسب وغسل بالماء المقطر وأعيد بلورته من الإيثanol. وكانت درجة انصهاره (158-160°C) وفي الابيات [18] (157-159°C) بنسبة ناتج (75%) ، مخطط 3.



مخطط 3: تحضير هايدراز ايد حامض الديكلوفيناك (H_3)

4. تحضير 5,2-ثنائي مupoض - 4,3,1 - اوكساديايازول (H_4-H_7) [19]

أذيب (0.93gm، 0.003mol) من المركب (H_3) في (5ml) ثانوي كلوروميثان (DCM) وأضيف له (0.003mol) من أحد الحوامض الكاربوكسيلية: (بيبوروفين، بالمنيك، بنزويك و كلورو حامض الخليك) و (1.5ml) من اوكسي كلوريد الفسفور $POCl_3$ ، تم تصبغ المزيج مدة (4) ساعات، ثم رُكّز محلول الى ثلث الحجم، وبرد في الثلاجة، رُشح الراسب وأعيدت بلورته من الايثانول المطلق، مخطط 4، ويوضح الجدول 1 نسب النواتج وبعض الصفات الفيزيائية للمركبات المحضرّة.



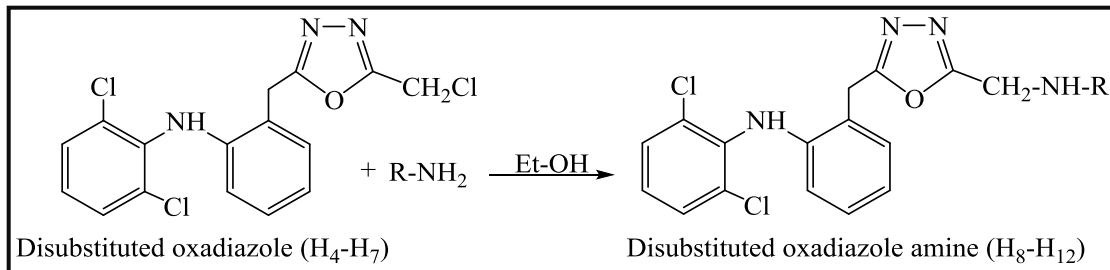
مخطط 4: تحضير 5,2-ثنائي مupoض - 4,3,1 - اوكساديايازول (H_4-H_7)

جدول 1: بعض الخواص الفيزيائية ونسب النواتج للمركبات (H_4-H_7)

Comp. Code	R Group	Colour	M.P C°	Yield %
H_4		Brown	120-123	78
H_5	$-\xi-(CH_2)_{14}CH_3$	Light Yellow	62-65	65
H_6		Red	153-155	67
H_7	$-\xi-CH_2-Cl$	Pink	200-202	82

5. تحضير 5,2-ثنائي المupoض-4,3,1-اوكساديايازول امين (H_8-H_{12}) [20]

أذيب (0.37gm، 0.001mol) من المركب (H_7) المحضر في الخطوة السابقة في (12ml) من الايثانول المطلق ثم مُزِّج مع (0.001mol) من الأمين الأولي، صُعدَ محلول مدة (4) ساعات ثم سُكِّب في مجروش الناتج حيث تكون راسب على الفور، رُشح الراسب وجفف وأعيدت بلورته من ثانوي كلوروميثان (DCM) وقيست درجة الانصهار له، مخطط 5، والجدول 2 يوضح نسب النواتج وبعض الصفات الفيزياوية للمركبات التي حضرّت.



مخطط 5: تحضير 5-ثنائي المعارض-4،3،1-اوكساديازول امين (H₈-H₁₂)

جدول 2: بعض الخواص الفيزيائية ونسبة النواتج للمركبات (H₈-H₁₂)

Comp. Code	R Group	Colour	M.P C°	Yield %
H ₈		Silver	200-202	72
H ₉		Dark Orange	145-147	78
H ₁₀		Yellowish White	155-158	68
H ₁₁		White	210-212	85
H ₁₂		Yellow	217-220	78

النتائج والمناقشة

يوضح الجدول 3 المركبات المحضرة مع اسمائها النظامية وصيغها الكيميائية وكتلتها المولية

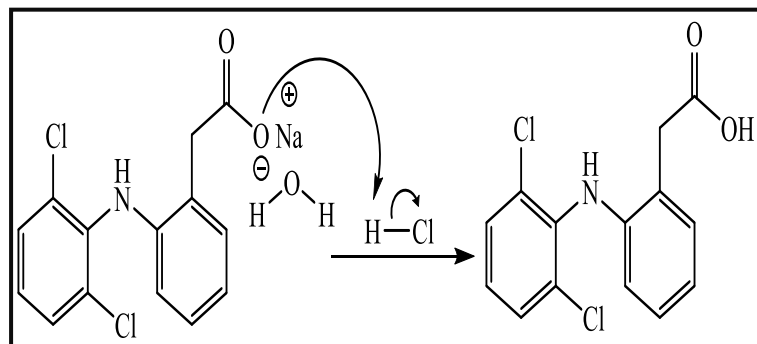
جدول 3: المركبات المحضرة مع اسمائها النظامية وصيغها الكيميائية وكتلتها المولية

Comp. Code	Structure	Name, Chemical Formula & molar Mass
H ₁		Name: Diclofenac acid Chemical Formula: C ₁₄ H ₁₁ Cl ₂ NO ₂ Molar Mass = 296.15 g/mol
H ₂		Name: Methyl diclofenac ester Chemical Formula: C ₁₅ H ₁₃ Cl ₂ NO ₂ Molar Mass = 310.17 g/mol
H ₃		Name: Diclofenac acid hydrazide Chemical Formula: C ₁₄ H ₁₃ Cl ₂ N ₃ O Molar Mass = 310.18 g/mol

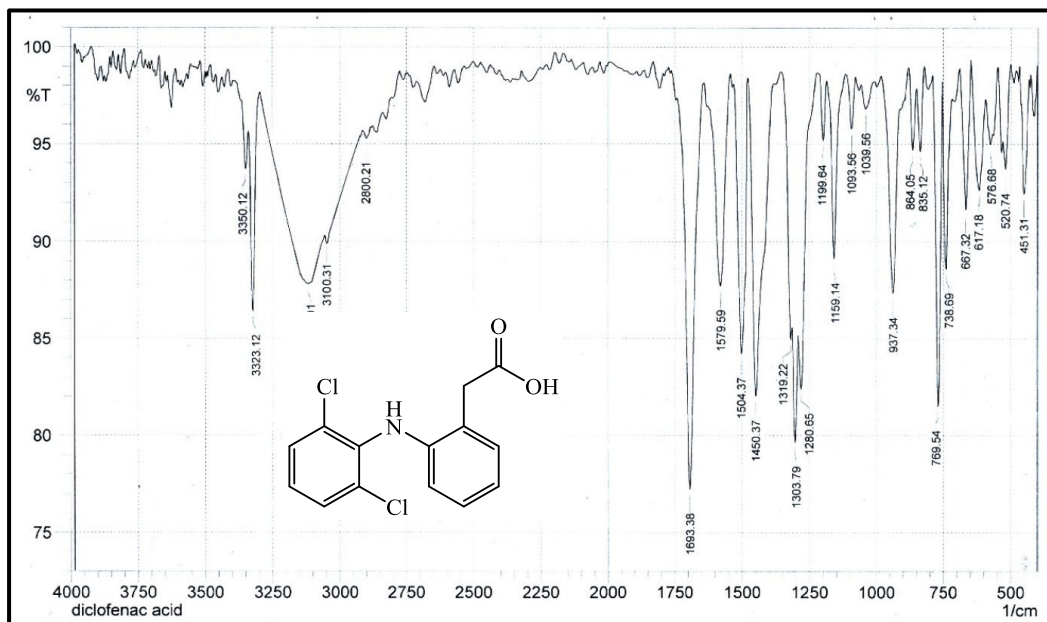
H ₄		Name: 2,6-dichloro-N-(2-((5-(1-isopropylphenyl)ethyl)-1,3,4-oxadiazol-2-yl)methyl)phenyl)aniline Chemical Formula: C ₂₆ H ₂₅ Cl ₂ N ₃ O Molar Mass = 466.41 g/mol
H ₅		Name: 2,6-dichloro-N-(2-((5-pentadecyl-1,3,4-oxadiazol-2-yl)methyl)phenyl)aniline Chemical Formula: C ₃₀ H ₄₁ Cl ₂ N ₃ O Molar Mass = 530.58 g/mol
H ₆		Name: 2,6-dichloro-N-(2-((5-phenyl-1,3,4-oxadiazol-2-yl)methyl)phenyl)aniline Chemical Formula: C ₂₁ H ₁₅ Cl ₂ N ₃ O Molar Mass = 396.27 g/mol
H ₇		Name: 2,6-dichloro-N-(2-((5-phenyl-1,3,4-oxadiazol-2-yl)methyl)phenyl)aniline Chemical Formula: C ₁₆ H ₁₂ Cl ₃ N ₃ O Molar Mass = 368.64 g/mol
H ₈		Name: N'-(2-(5-(2-(2,6-dichlorophenyl)amino)benzyl)-1,3,4-oxadiazol-2-yl)ethyl)naphthalene-2-sulfonohydrazide Chemical Formula: C ₂₇ H ₂₃ Cl ₂ N ₅ O ₃ S Molar Mass = 568.47 g/mol
H ₉		Name: 4-(((5-(2-(2,6-dichlorophenyl)amino)benzyl)-1,3,4-oxadiazol-2-yl)methyl)amino)-N-(5-methylisoxazol-3-yl)benzenesulfonamide Chemical Formula: C ₂₆ H ₂₂ Cl ₂ N ₆ O ₄ S Molar Mass = 585.46 g/mol
H ₁₀		Name: 2,6-dichloro-N-(2-((4-fluorophenyl)amino)methyl)-1,3,4-oxadiazol-2-yl)methyl phenyl)aniline Chemical Formula: C ₂₂ H ₁₇ Cl ₂ FN ₄ O Molar Mass = 443.30 g/mol
H ₁₁		Name: 2,6-dichloro-N-(2-((3-nitrophenyl)amino)methyl)-1,3,4-oxadiazol-2-yl)methyl phenyl)aniline Chemical Formula: C ₂₂ H ₁₇ Cl ₂ N ₅ O ₃ Molar Mass = 470.31 g/mol
H ₁₂		Name: 4-(((5-(2-(2,6-dichlorophenyl)amino)benzyl)-1,3,4-oxadiazol-2-yl)methyl)amino)benzoic acid Chemical Formula: C ₂₃ H ₁₈ Cl ₂ N ₄ O ₃ Molar Mass = 469.32 g/mol

1. تشخيص حامض الديكلوفيناك

حضرّ هذا المركب من تفاعل ملح دايكلوفيناك الصوديوم مع حامض الهيدروكلوريك المخفف باستعمال الماء المقطر لينبيه. ويمكن اقتراح ميكانيكية التفاعل التي تتم بخطوة واحدة. كما يأتي:



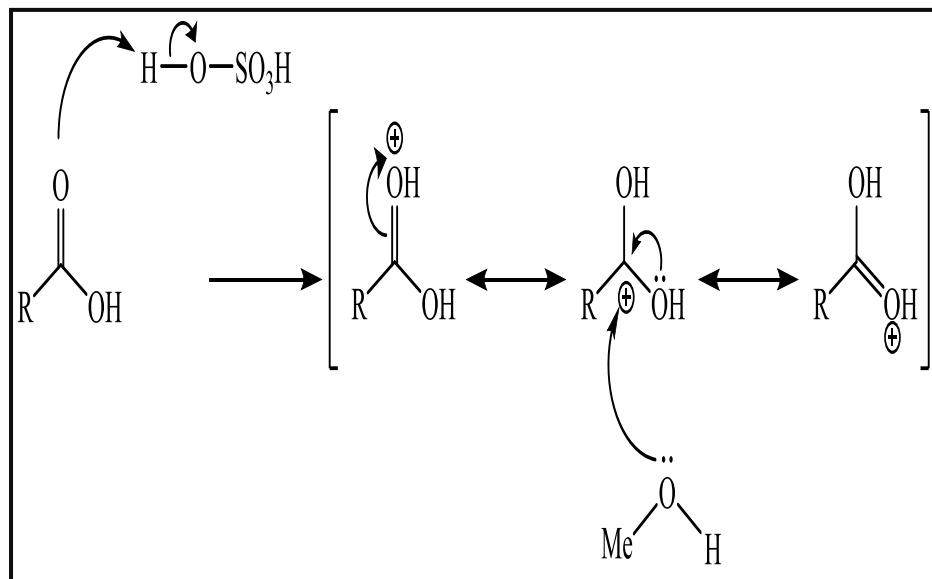
شخص هذا المركب بالاعتماد على درجة الانصهار واللون وطيف الاشعة تحت الحمراء شكل 1، اذ أظهر الطيف حرمة عند التردد (769cm⁻¹) تعود لمط الأصرة (C-Cl). وأخرى عند التردد (1280cm⁻¹) تعود لمط الأصرة (C-O)، وحرمة عند الموقع (1319cm⁻¹) تعود لمط الأصرة (C-N) للamin الثنائي. وحرمتين عند الترددان (1504 ، 1450cm⁻¹) تعزى لمط الأصرة (C=C) المنتظر وغير المتوازن في الحلقتين الاروماتيتين، وحرمة حادة عند الموقع (1693cm⁻¹) تعود لمط مجموعة الكاربونيل. كذلك ظهرت حرمة عند التردد (2800cm⁻¹) تعود لمط الأصرة (C-H) الاليفاتية وحرمة أخرى عند التردد (3100cm⁻¹) ترجع لمط الأصرة (C-H) الاروماتية، وحرمة عريضة تمتد من (3000-3250cm⁻¹) تعود لأصرة (OH) الحامض. وأخيراً ظهرت حرمة عند التردد (3323cm⁻¹) ناتجة عن تأثير المط لمجموعة الأمين الثنائي (N-H).



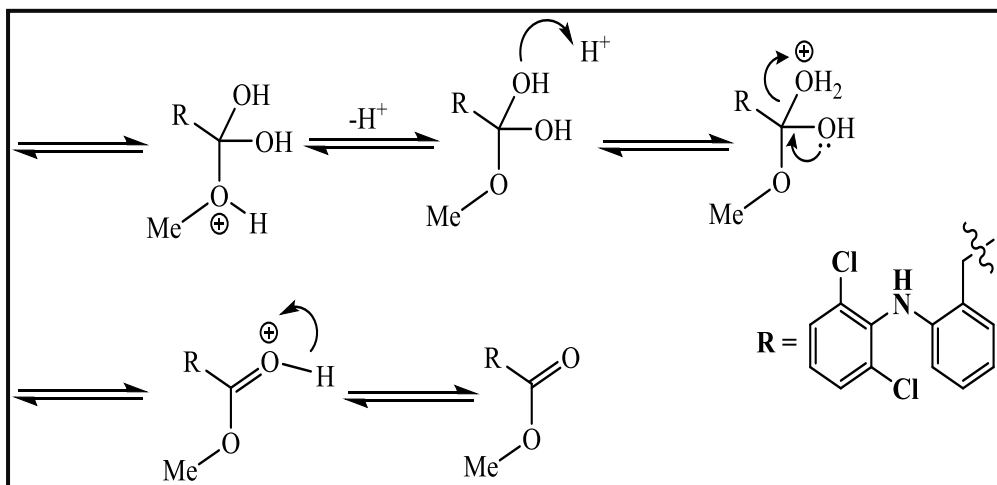
شكل 1: طيف الأشعة تحت الحمراء (FT-IR) لحامض دايكلوفيناك (H₁)

2. تشخيص مثيل دايكلوفينات استر (H₂)

حضرّ هذا الاستر من تفاعل كحول المثيل مع حامض الديكلوفيناك بوجود حامض الكبريتيك عامل مساعد (طريقة فشر). تقرّح ميكانيكية [21] تفاعل الاستر مرور التفاعل بعدة خطوات، في الأولى يتم انتقال بروتون من الحامض (المحفز) إلى اوكسجيني مجموعة الكاربونيل للحامض العضوي مما يزيد من الكتروفيليّة ذرة الكاربون وهذا يسهل هجوم ذرة اوكسجين الكحول النيوكليوفيّية.

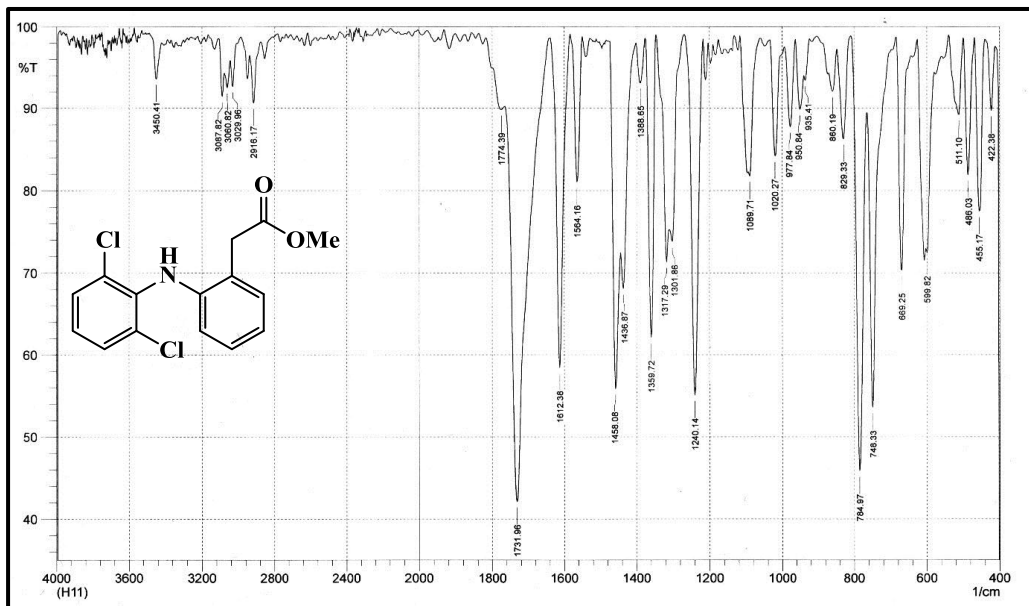


يتبع ذلك انتقال بروتون من ايون الاوكسونيوم الى ذرة الاوكسجين الثانية ليكون معقد مُنشَط والذى بدوره يفقد جزيئه ماء يتبعها فقدان بروتون ليعطى الاستر.



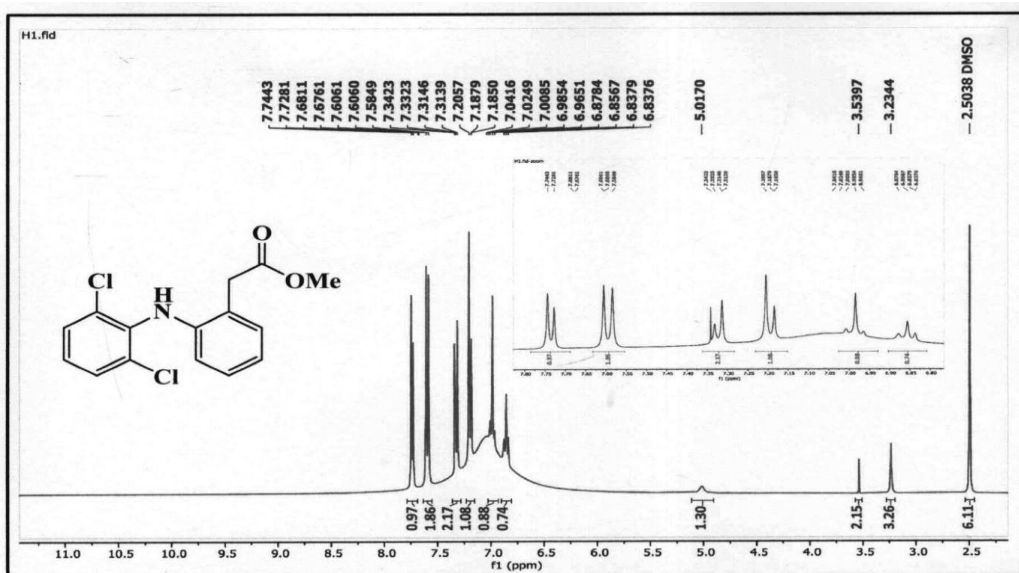
تم التأكيد من المركب وتشخيصه من خلال الانخفاض الكبير في درجة الانصهار عن الحامض الذي حضر منه، وكذلك استخدام بعض التقنيات الطيفية الآتية:

أ. طيف الأشعة تحت الحمراء: ان طيف المركب (H_2) الذي تمت مقارنته مع طيف الحامض حيث لوحظ فرق كبير في حزم الامتصاص، من أهم هذه الفروقات هو اختفاء الحزمة العريضة ($0-\text{H}$) للحامض نهائياً من طيف الاستر. أظهر طيف هذه الأشعة شكل 2، حزمة امتصاص عند التردد (784cm^{-1}) ترجع لمط الآصرة ($\text{C}-\text{Cl}$) الاروماتية. وحزمة امتصاص عند التردد (1240cm^{-1}) تُعزى لمط آصرة ($\text{C}-\text{O}$) المنفردة، وأخرى عند التردد (1317cm^{-1}) يعود لإهتزاز المط لمجموعة ($\text{C}-\text{N}$) للأمين الثنائي. وظهور حزمتين عند التردددين (1458cm^{-1} ، 1564cm^{-1}) تعود لمط الآصرة ($\text{C}=\text{C}$) المتلاز وغير المتلاز للحلقة الاروماتية وظهور حزمة مط جديدة قوية وحاده عند التردد (1731cm^{-1}) تعزى لمجموعة الكاربونيل الاسترية. وحزمة أخرى عند التردد (2916cm^{-1}) ترجع لمط الآصرة ($\text{C}-\text{H}$) الاليفاتية، وظهور ثلاثة حزم عند المواقع (3029cm^{-1} ، 3060cm^{-1} ، 3087cm^{-1}) تعود لمط الأواصر ($\text{C}-\text{H}$) الاروماتية، وأخيراً ظهرت حزمة عند التردد (3450cm^{-1}) ناتجة عن اهتزاز المط لمجموعة ($\text{N}-\text{H}$).



شكل 2: طيف الأشعة تحت الحمراء (FT-IR) لمethyl دايكلوفينات استر (H_2)

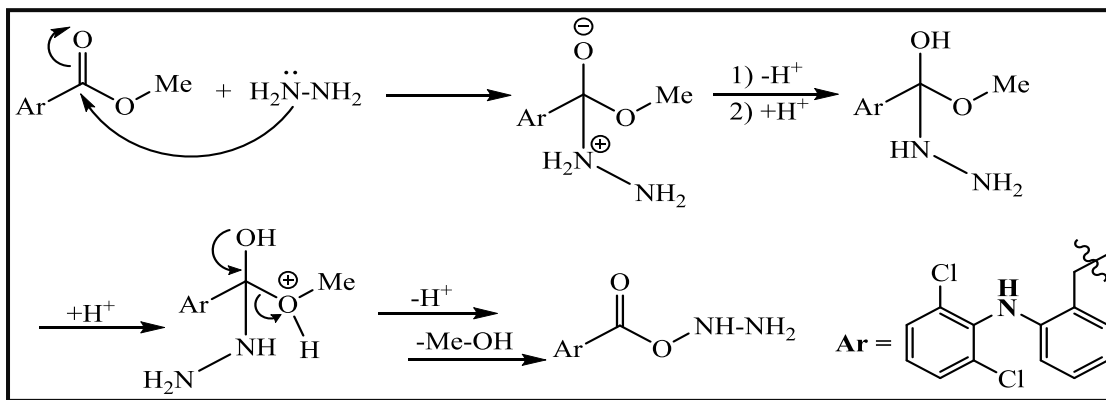
ب. طيف الرنين النووي المغناطيسي البروتوني (1H -NMR): ان هذا الطيف أظهر إشارة أحادية تقابل ($3H$) عند التردد (3.23ppm) تعود لمجموعة المثيل الطرفية وإشارة أخرى ($2H$) عند التردد (3.53ppm) تعود لمجموعة المثيلين واشارة عند الموقع (5.01ppm) تعود الى بروتون مجموعة الأمين. وإشارات متعددة عند الترددات (6.83-7.74ppm) تعود الى بروتونات الحلقتين الاروماتيتين، وكما موضح في شكل 3.



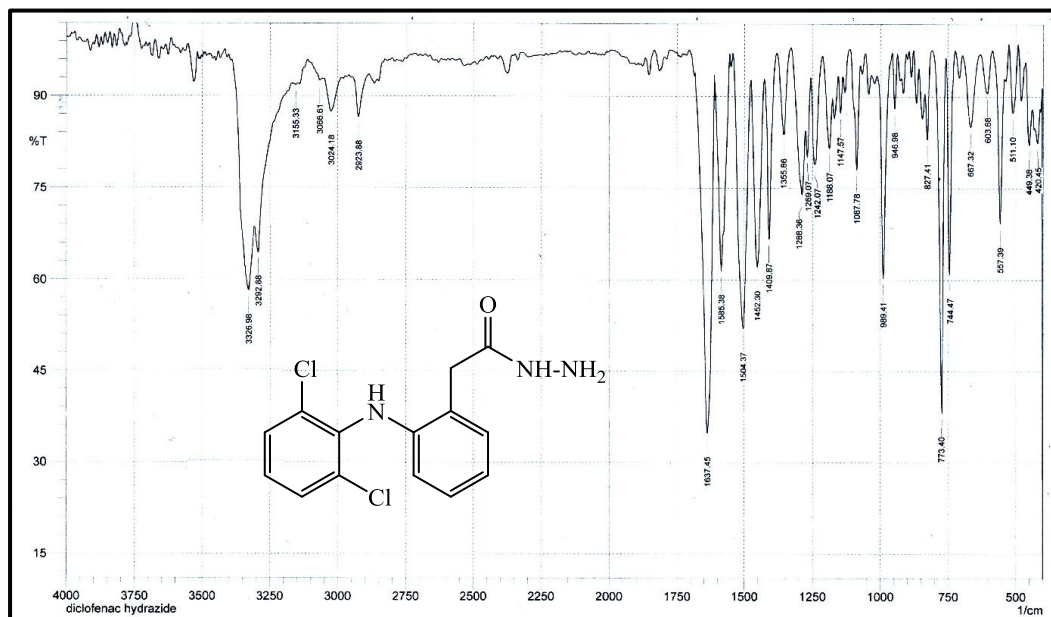
شكل 3: طيف البروتون للرين النووي المغناطيسي (1H -NMR) لمethyl دايكلوفينات استر (H_2)

3. تشخيص هيدراز اي德 حامض الديكلوفيناك (H_2)

حضرّ المركب من تفاعل مethyl دايكلوفينات استر (H_2) مع الهيدرازين المائي (80%) بوجود الإيثانول كونه مذيب، تم التفاعل وفق ميكانيكية التعويض النيوكلاليوفيلي المقترحة والتي تتضمن هجوم التتروجين على الكاربونيل يعقبها عدة خطوات من إضافة وحذف بروتونات ومجاميع ليكون هيدراز اي德 حامض الديكلوفيناك [22].

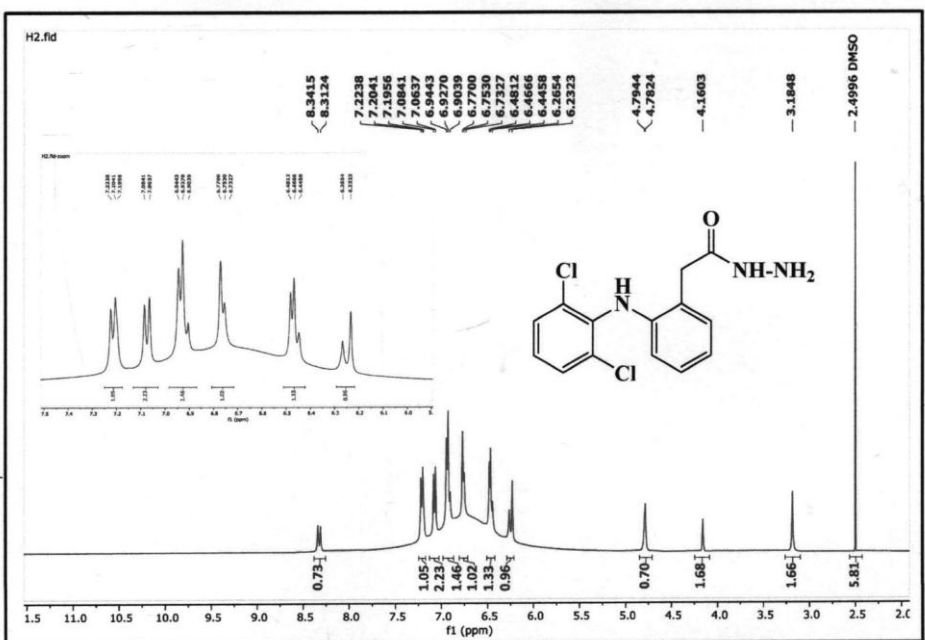


شخص المركب وتم تأكيده عن طريق بعض الخواص الفيزيائية كاللون ودرجة الانصهار وبعض التقنيات الطيفية الآتية:
أ. طيف الأشعة تحت الحمراء: حيث أظهر هذا الطيف حزمة امتصاص عند التردد (773cm⁻¹) ناتجة عن مط الأصراة (C-Cl) لكlorيد الاريل، وأخرى عند التردد (1296cm⁻¹) ترجع لمط مجموعة (C-N) الاليفاتية. وحزمة عند التردد (1355cm⁻¹) تعزى لمط آصرة (C-N) الارomaticية، وحزمة عند التردد (1637cm⁻¹) ناتجة عن اهتزاز المط لمجموعة الكاربونيل الاماديّة، حزمة أخرى ظهرت عند التردد (2923cm⁻¹) تعود لمط الأصراة (C-H) الاليفاتية، ثلاثة حزم ظهرت عند الترددات (3024, 3066, 3155cm⁻¹) تعود لأوامر (C-H) الاروماتية، وأخيراً ظهرت حزمة ثنائية واضحة عند الترددات (3292, 3326cm⁻¹) ناتجة عن اهتزاز المط المتّظر وغير المتّظر لمجموعة الأمين الطرفية، شكل 4.



شكل 4: طيف الأشعة تحت الحمراء (FT-IR) لهيدراز ايد الدياكلوفيناك (H₃)

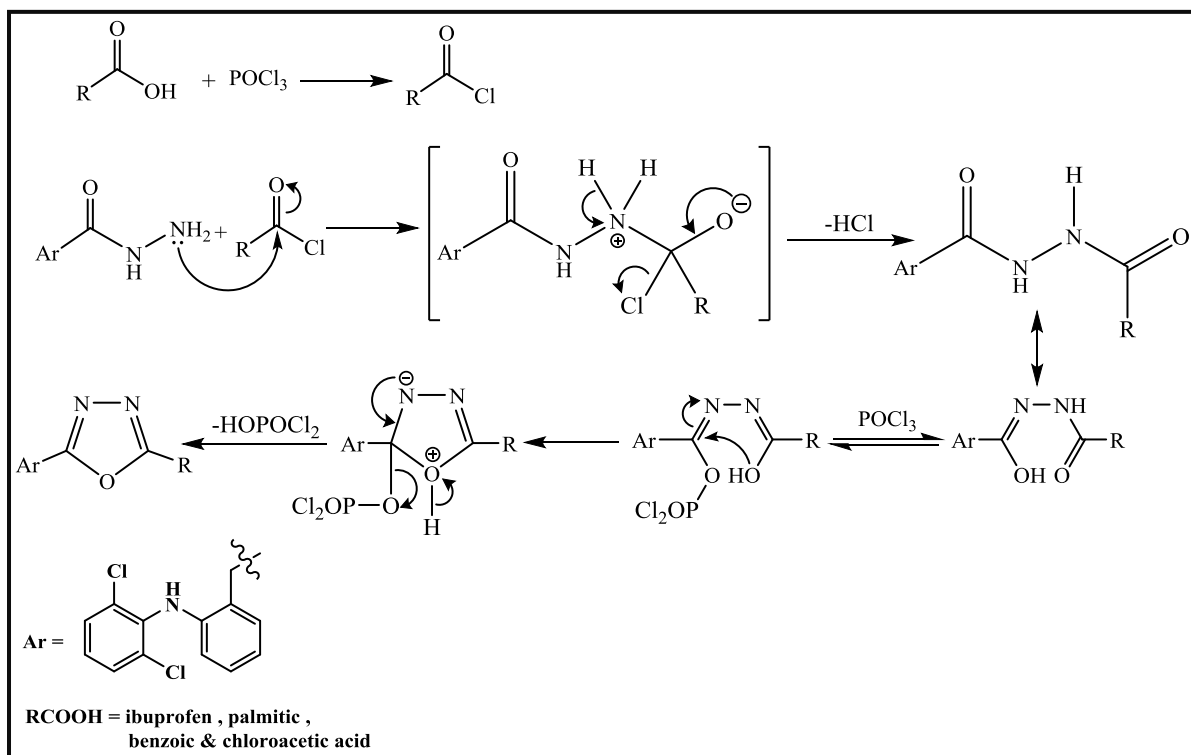
ب. طيف البروتون للرنين النووي المغناطيسي (¹H-NMR): استخدم ايضاً هذا الطيف للتأكد من المركب، إذ اعطى إشارة عند المنطقة (3.18ppm) تمثل بروتوني مجموعة (CH₂). واعطى إشارة مجاورة لها عند التردد (4.16ppm) تعود لبروتوني مجموعة الأمين الأولية الطرفية، وإشارة عند الموقع (4.78ppm) ترجع لبروتون لمجموعه الأمين الثاني الاروماتية. وإشارات متعددة بين (6.23-7.22ppm) تعود لبروتونات الحلقات الاروماتية، وأخيراً ظهرت إشارة عند التردد (8.31ppm) تُعزى لبروتون مجموعة الأمين الاماديّة، وكما موضح في شكل 5.



شكل 5: طيف البروتون للرنين النووي المغناطيسي ($^1\text{H-NMR}$) لهيدراز ايد الدياكلوفيناك (H_2)

4. تشخيص مركبات 5-ثنائي الموضع-4،3،1-اوكسادايانول ($\text{H}_4\text{-H}_7$)

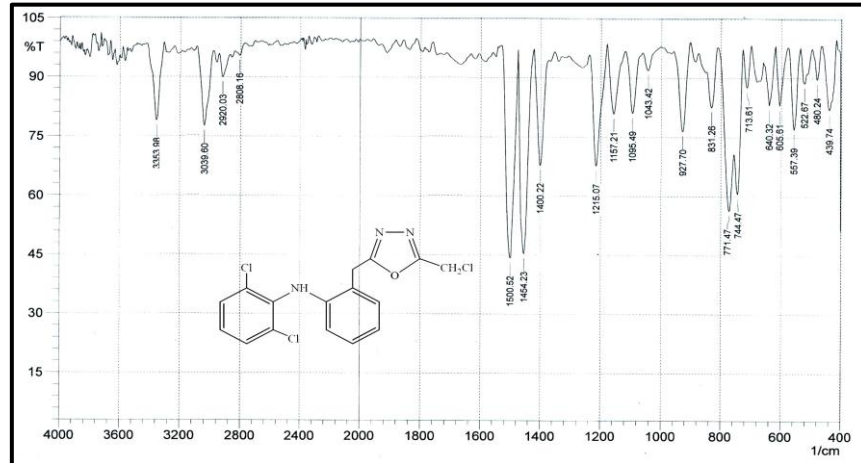
حضرت هذه المركبات من تفاعل هيدراز ايد الدياكلوفيناك مع بعض الحوامض الكاربوكسيلية في ثانوي كلوروميثان كمحذب وأوكسيي كلوريد الفسفرور عامل حلقة، وميكانيكية التفاعل المتوقعة كما ذكرت في الابيات نوردها كما يأتي [23]:



شُخصت هذه المركبات باستخدام ثلاثة تقنيات طيفية (FT-IR , $^1\text{H-NMR}$, $^{13}\text{C-NMR}$) وكما يلي:

أ. طيف الأشعة تحت الحمراء (FT-IR): إذ أظهر طيف الأشعة تحت الحمراء (FT-IR) للمركبات ($\text{H}_4\text{-H}_7$) حزمة امتصاص ضمن المدى ($1215-1228\text{cm}^{-1}$) تعود لمط الأصارة (C-O) في الحلقة، وحزمتنا امتصاص لكل مركب تتراوح بين ($1450-1459\text{cm}^{-1}$) و ($1498-1507\text{cm}^{-1}$) تعود لمط الأصارة (C=C) المتناظر وغير المتناظر في الحلقة

الاروماتية، وظهور حزم ضمن النطاقين ($1593-1560\text{cm}^{-1}$) و ($1592-1560\text{cm}^{-1}$) تعودان لمط آصرتي ($\text{C}=\text{N}$) في الحلقة غير المتجانسة، كذلك ظهرت حزم امتصاص لكل مركب تتراوح بين ($2917-2925\text{cm}^{-1}$) تعود الى مط الأصرة ($\text{C}-\text{H}$) الاليفاتية، وظهور حزم امتصاص ضمن المدى ($3033-3045\text{cm}^{-1}$) تعود لمط مجاميع ($\text{C}-\text{H}$) الاروماتية ، وأخيراً ظهرت حزم عند الترددات ($3353-3360\text{cm}^{-1}$) تعود لمط مجموعة الأمين الثانوي ($\text{N}-\text{H}$)، شكل 6 وجدول 4.

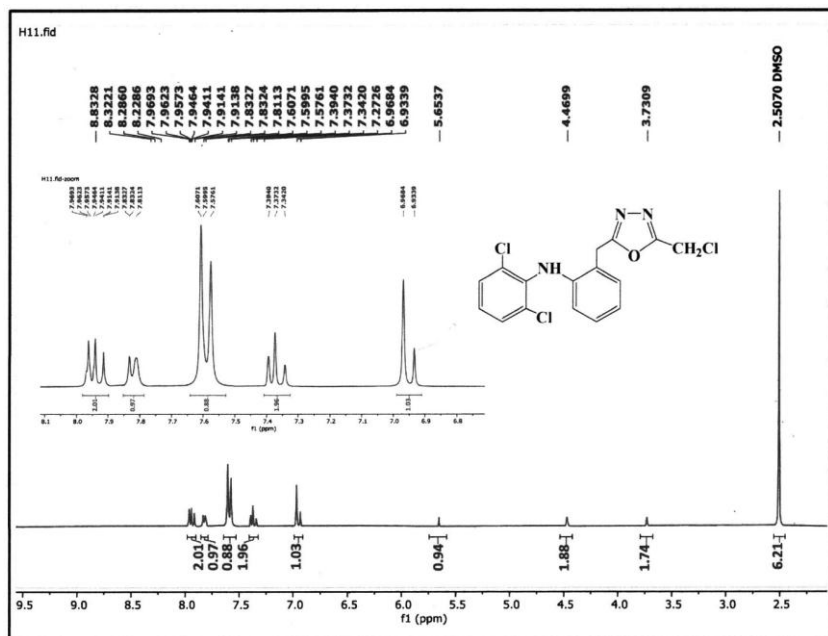


شكل 6: طيف الاشعة تحت الحمراء (FT-IR) للمركب (H_7)

جدول 4: قيم اهتزازات الاشعة تحت الحمراء لمعوضات الاوكساديابازول المحضرة (H_4-H_7)

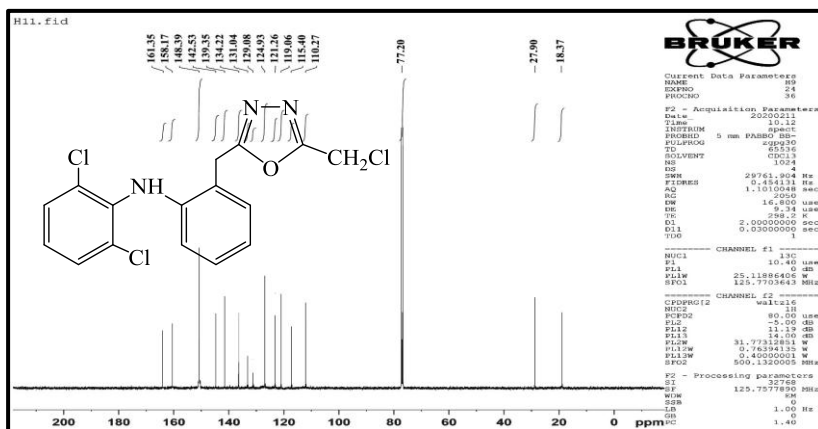
Comp.	FT-IR Spectrum Values In KBR (cm^{-1})						Others
	Code	C-O	C=C	C=N	C-HAli.	C-HAro.	
H ₄	1228	1453,1507	1579,1607	2919	3043	3357	2940(CH ₃)
H ₅	1219	1450,1503	1560,1593	2925	33033	3358	2963(CH ₃)
H ₆	1227	1459,1498	1592,1598	2917	3045	3360	3051(C-H)Ar
H ₇	1215	1454,1500	1564,1602	2920	3039	3353	771(C-Cl)

ب. طيف البروتون للرنين النووي المغناطيسي ($^1\text{H-NMR}$): اظهر هذا الطيف للمركب (H_7) إشارة أحادية (3.73ppm) تعود لبروتوني مجموعة المثيلين (-CH₂-) وأشاره أحادية عند الموقع (4.46ppm) تعود لبروتوني مجموعة المثيلين الطرفية المرتبطة بالكلور (-CH₂Cl). وأشارات متعددة (6.93-8.83ppm) تعود لبقية بروتونات الحلقتين الاروماتيتين، إشارة أخيرة ظهرت عند (5.65ppm) تعود لبروتون مجموعة الأمين الثانوية، شكل 7.



شكل 7: طيف البروتون للرنين النووي المغناطيسي ($^1\text{H-NMR}$) للمركب (H₇)

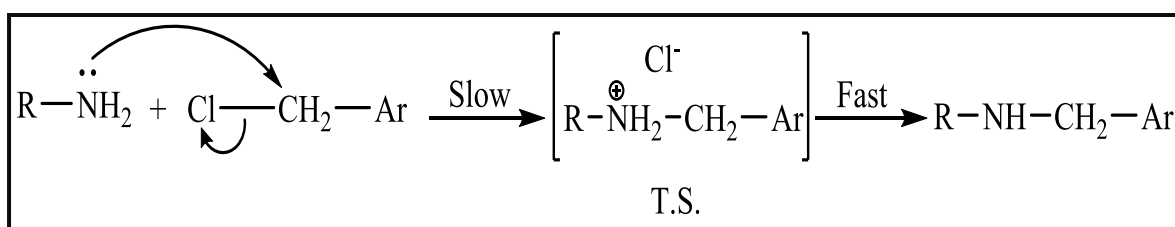
ج. طيف نظير الكربون $^{13}\text{C-NMR}$ للرنين النووي المغناطيسي ($^{13}\text{C-NMR}$): اعطي هذا الطيف للمركب (H₇) إشارة عند الموقع (18ppm) تعود لكاربون مجموعة الميثيلين (CH₂) وإشارة عند التردد (27ppm) تعود لمجموعة الميثيلين الطرفية (CH₂Cl)، (إشارة الكلوروفورم ظهرت عند 77ppm)، وإشارات متعددة ظهرت بين (110-148ppm) تعود لذرات كاربون الحلقات الاروماتيتين، وظهور إشارتين (158,161ppm) عند الترددان لذرتى كاربون حلقة الاوكساديازول، شكل 8.



شكل 8: طيف نظير الكربون $^{13}\text{C-NMR}$ للرنين النووي المغناطيسي ($^{13}\text{C-NMR}$) للمركب (H₇)

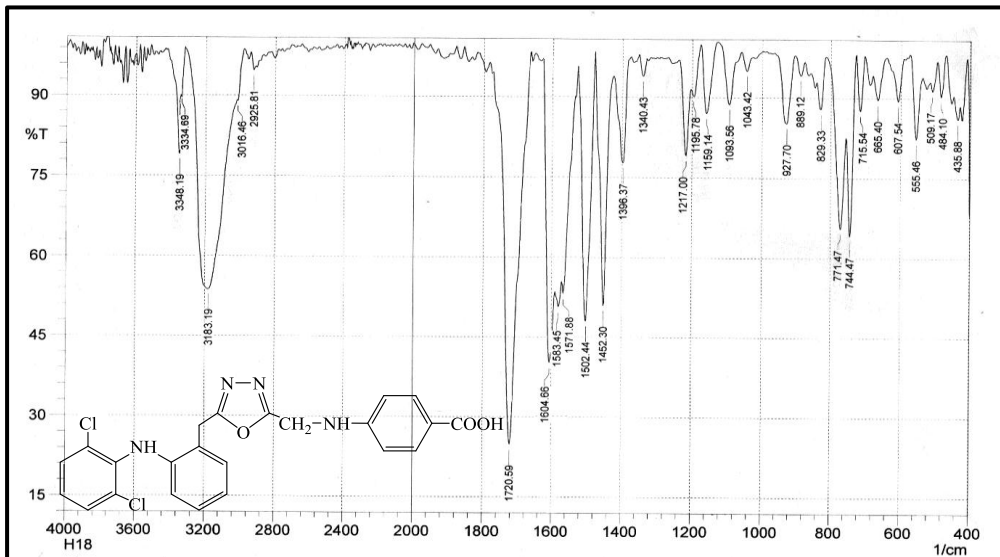
5. تشخيص مركبات 2,5-ثنائي الموضع-4,3،1-اوكساديازول امين (H₈-H₁₂)

تم تحضير هذه المركبات من تفاعل المركب (H₇) مع بعض الامينات الأولية، يجري التفاعل وفق ميكانيكية التعويض النيوكليوفيلي ثنائية الجزيئية ($\text{S}_{\text{N}}2$)، تهاجم ذرة النتروجين ذات الكثافة الالكترونية العالية ذرة كاربون هاليد الالكيل[24] لتكوين حالة انتقالية غير مستقرة والتي سرعان ما تتحول الى امين ثانوي:



تم تشخيص هذه السلسلة من المركبات عن طريق استعمال ثلاثة تقنيات طيفية هي:

أ. طيف الأشعة تحت الحمراء: أظهر طيف هذه الأشعة للمركبات (H_8-H_{12}) حزم امتصاص ضمن المدى ($1142-1187\text{cm}^{-1}$) تعود لمط الأصرة ($C-O-C$) الابثيرية وحزم امتصاص ضمن المدى ($1216-1273\text{cm}^{-1}$) يعود لمط الأصرة ($C-N$)، وحزم ضمن المديين ($1604-1632\text{cm}^{-1}$ و $1575-1593\text{cm}^{-1}$) تعود لآخرتي ($C=N$) لهذه المجموعة من المركبات. وحزم امتصاص ضمن المدى ($2896-2927\text{cm}^{-1}$) تعود لمط الأصرة ($C-H$) الابثيرية، وحزم أخرى ضمن المدى ($3014-3062\text{cm}^{-1}$) تعود لمط أواصر ($C-H$) الاروماتية، وأخيراً ظهرت حزم امتصاص ضمن النطاق ($3320-3365\text{cm}^{-1}$) تعود لمط الأصرة ($N-H$)، شكل 9، وجدول 5.

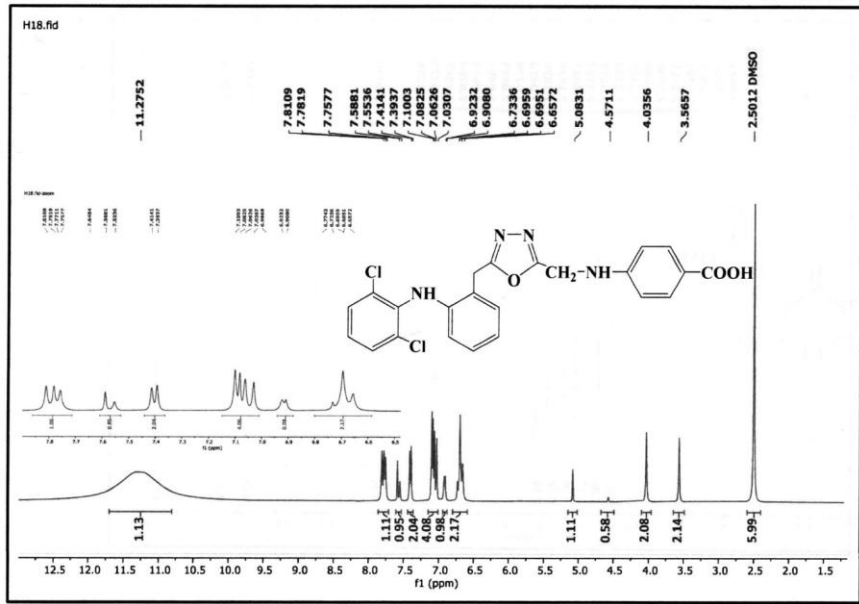


شكل 9: طيف الأشعة تحت الحمراء (FT-IR) (H₁₂) للمركب (H₁₂)

جدول 5: قيم اهتزازات الأشعة تحت الحمراء لمعوضات الاوكساديازول امين المحضرة (H₈-H₁₂)

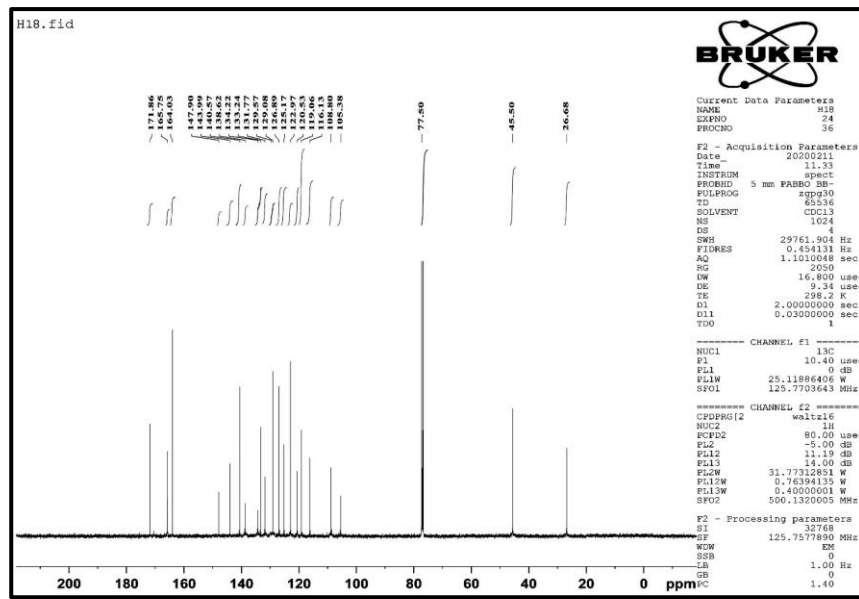
Comp. Code	FT-IR Spectrum Values In KBR (cm^{-1})						Others
	C-O	C-N	C=C	C-H _{Ali.}	C-H _{Aro.}	N-H _{Ali.}	
H ₈	1142	1273	1423,1512	2903	3043	3365	1342(S=O)
H ₉	1163	1232	1439,1501	2896	3040	3320	3426(N-H)
H ₁₀	1160	1228	1430,1512	2901	3014	3342	1067(C-F)
H ₁₁	1187	1222	1485,1562	2927	3062	3338	1328,1497 (NO) 3183(OH)
H ₁₂	1159	1217	1452,1502	2925	3016	3334	1713(C=O)

ب. طيف البروتون للرنين النووي المغناطيسي: أظهر هذا الطيف للمركب (H_{12}) إشارة أحادية عند الموقع (3.56ppm) تعود لمجموعة المثيلين بين الحلقتين وأشاره أحادية اخري عند الموقع (4.03ppm) تعود لمجموعة المثيلين الأخرى، وإشارة عند التردد (4.57ppm) تُعزى لبروتون (N-H) المرتبط بالمثيلين، وإشارة عند الموقع (5.08ppm) تعود لبروتون الأمين بين الحلقتين، وإشارات ضمن المدى (6.65-7.81ppm) تعود لبروتونات الحلقات الاروماتية. وأخيراً ظهرت إشارة عند التردد (11.27ppm) تعود لبروتون مجموعة الكاربوكسيل، شكل 10.



شكل 10: طيف البروتون للرنين النووي المغناطيسي ($^1\text{H-NMR}$) للمركب (H_{12})

ج. طيف نظير الكربون ^{13}C للرنين النووي المغناطيسي: اظهر هذا الطيف للمركب (H_{12}) إشارة أحادية عند الموقع (26ppm) تعود لمجموعة الميثيلين الواقعة بين حلقة الاوكسازول والفنيل، وإشارة أخرى عند التردد (45ppm) تعود لمجموعة الميثيلين المرتبطة بالنتروجين، (إشارة الكلوروفورم ظهرت عند 77ppm)، وإشارات أخرى ظهرت بين (105-147ppm) تعود لذرات كarbon الحلقات الاروماتية. وإشارتين عند التردد (164,165ppm) تعودان لذرتى كاربون حلقة الاوكسازول، وأخيراً ظهرت اشارة عند التردد (171ppm) تعود لكاربون مجموعة الكاربوني، شكل 11.



شكل 11: طيف نظير الكربون ^{13}C للرنين النووي المغناطيسي ($^{13}\text{C-NMR}$) للمركب (H_{12})

الفعالية البالولوجية

تم تقييم الفعالية البايولوجية لبعض المركبات المحضرة في هذه الرسالة على نوعين من البكتيريا وهي كما يأتي:

1. الزائفة الزنجارية (*Pseudomonas aeruginosa*)
2. المكورات العنقودية الذهبية (*Staphylococcus aureus*)

اختيرت هذه الفئه من الجراثيم نظراً لأهميتها الطبية الكبيرة وكذلك لأنها تسبب العديد من الأمراض، وهي متباينة في مقاومتها للمضادات الحيوية إذ قُيمت الفعالية البايولوجية لبعض المركبات المحضرة وذلك باستعمال طريقة الحفر [25] وقياس

المستوى التثبيطي (inhibition zone) حيث دلت النتائج ان اغلب المركبات لها قدرة تثبيطية جيدة للبكتيريا (Pseudomonas aeruginosa) و (Staphylococcus aureus) قياساً الى المضادات الحيوية المستعملة. وحسب الجدولين (7،6).

جدول 6: الفعالية البايولوجية المضادة للبكتيريا لمركبات 2،5،3،4،1-اوكساداياتزول (H₄-H₇) المحضرة وتاثيرها في النمو لعدد من الجراثيم الموجبة والسلبية (قطر الدائرة التثبيطية مقاسة بـ ملم).

Comp. Code	Conc. Mg/ml	Pseudomona <i>s aeruginosa</i>	Staphylococcu <i>s aureus</i>
H ₄	1 x 10 ⁻⁴	+	-
	1 x 10 ⁻³	++	+
	1 x 10 ⁻²	++	++
H ₅	1 x 10 ⁻⁴	+	+
	1 x 10 ⁻³	++	+
	1 x 10 ⁻²	++	++
H ₆	1 x 10 ⁻⁴	-	++
	1 x 10 ⁻³	++	+++
	1 x 10 ⁻²	++	+++
H ₇	1 x 10 ⁻⁴	-	++
	1 x 10 ⁻³	++	+++
	1 x 10 ⁻²	+++	+++

جدول 7: الفعالية البايولوجية المضادة للبكتيريا لمركبات 5،2-ثنائي المغوض-4،3،1-اوكساداياتزول امين (H₈-H₁₂) المحضرة وتاثيرها في النمو لعدد من الجراثيم الموجبة والسلبية (قطر الدائرة التثبيطية مقاسة بـ ملم).

Comp. Code	Conc. Mg/ml	Pseudomona <i>s aeruginosa</i>	Staphylococcu <i>s aureus</i>
H ₈	1 x 10 ⁻⁴	++	++
	1 x 10 ⁻³	++	+++
	1 x 10 ⁻²	+++	+++
H ₉	1 x 10 ⁻⁴	++	++
	1 x 10 ⁻³	++	++
	1 x 10 ⁻²	++	+++
H ₁₀	1 x 10 ⁻⁴	-	-
	1 x 10 ⁻³	++	+
	1 x 10 ⁻²	+++	++
H ₁₁	1 x 10 ⁻⁴	-	-
	1 x 10 ⁻³	+	+
	1 x 10 ⁻²	++	+
H ₁₂	1 x 10 ⁻⁴	-	+
	1 x 10 ⁻³	+	++
	1 x 10 ⁻²	++	++

(+) = تثبيط بقطر 5 - 10 ملم (-) = لا يوجد تثبيط
 (+++) = تثبيط بقطر 15 - 20 مل (++) = تثبيط بقطر 25 - 30 مل

استعمال المضادات الحيوية (السيطرة)

استُعملت المضادات الحيوية الأمبیسلین Ampicillin والأموکسیلین Amoxicillin كعينات سيطرة وذلك بالاعتماد على ما يتم استعماله في مختبرات وزارة الصحة المعتمدة على فحوصات منظمة الصحة العالمية، والجدول (8) يوضح الفعالية التثبيطية المضادة للبكتيريا لبعض المركبات المحضرة.

جدول 8: الفعالية المضادة للبكتيريا لمعاملات السيطرة (المضادات الحيوية) في نمو عدد من الجراثيم السالبة والمحببة (قطر الدائرة التنبطية مقاسة بـ ملم).

No.	Name	Conc. Mg/ml	Pseudomonas aeruginosa	Staphylococcus aureus
1	Amoxicillin	1 x 10 ⁻³	16	19
2	Ampicillin	1 x 10 ⁻³	15	10
3	Ciprofloxacin	1 x 10 ⁻³	12	11
4	Blank disk	-----	0	0

References

1. Bishayee, A., Karmakar, R., Mandal, A., Kundu, S. N., & Chatterjee, M. (1997). Vanadium-mediated chemoprotection against chemical hepatocarcinogenesis in rats: haematological and histological characteristics. *European Journal of Cancer Prevention: the Official Journal of the European Cancer Prevention Organisation (ECP)*, 6(1), 58-70.
2. Jain, N., Pathak, D. P., Mishra, P., & Jain, S. (2009). Syntheses and antibacterial studies of some 2-[5-(Aryl)-[1, 3, 4] oxadiazole-2-ylsulfanyl] alkanoic Acids. *Journal of the Iranian Chemical Society*, 6(1), 77-81.
3. Hutt, M. P., Elslager, E. F., & Werbel, L. M. (1970). 2-Phenyl-5-(trichloromethyl)-1, 3, 4-oxadiazoles, A new class of antimalarial substances. *Journal of Heterocyclic Chemistry*, 7(3), 511-518.
4. Silvestrini, B., & Pozzatti, C. (1961). Pharmacological properties of 3-phenyl-5 β diethylaminoethyl-1, 2, 4-oxadiazole. *British journal of pharmacology and chemotherapy*, 16(3), 209-217.
5. Sharma, R. S., & Bahel, S. C. (1983). Synthesis of aryloxy/aryl acetyl thiosemicarbazides, substituted 1, 3, 4-oxadiazoles, 1, 3, 4-thiadiazoles, 1, 2, 4-triazoles and related compounds as potential fungicides. *Chemischer Informationsdienst*, 14(5), 877-880.
6. Omar, A. M. M., & Aboulwafa, O. M. (1984). Synthesis and anticonvulsant properties of a novel series of 2-substituted amino-5-aryl-1, 3, 4-oxadiazole derivatives. *Journal of heterocyclic chemistry*, 21(5), 1415-1418.
7. Kavitha, S., Kannan, K., & Gnanavel, S. (2017). Synthesis, characterization and biological evaluation of novel 2, 5 substituted-1, 3, 4 oxadiazole derivatives. *Saudi Pharmaceutical Journal*, 25(3), 337-345.
8. Nagalakshmi, G. (2008). Synthesis, antimicrobial and antiinflammatory activity of 2, 5-disubstituted-1, 3, 4-oxadiazoles. *Indian journal of pharmaceutical sciences*, 70(1), 49.
9. Kadi, A. A., El-Brollosy, N. R., Al-Deeb, O. A., Habib, E. E., Ibrahim, T. M., & El-Emam, A. A. (2007). Synthesis, antimicrobial, and anti-inflammatory activities of novel 2-(1-adamantyl)-5-substituted-1, 3, 4-oxadiazoles and 2-(1-adamantylamino)-5-substituted-1, 3, 4-thiadiazoles. *European journal of medicinal chemistry*, 42(2), 235-242.
10. Mickevičius, V., Vaickelionienė, R., & Sapijanskaitė, B. (2009). Synthesis of substituted 1, 3, 4-oxadiazole derivatives. *Chemistry of heterocyclic compounds*, 45(2), 215-218.
11. Bentiss, F., & Lagrenée, M. (1999). A new synthesis of symmetrical 2, 5-disubstituted 1, 3, 4-oxadiazoles. *Journal of heterocyclic chemistry*, 36(4), 1029-1032.
12. Gomes, D., Borges, C. P., & Pinto, J. C. (2001). Study of the synthesis of poly (4, 4'-diphenylether-1, 3, 4-oxadiazole) in solutions of poly (phosphoric acid). *Polymer*, 42(3), 851-865.

13. Burke, J. W. (2007). *Diclofenac Salts: Their Synthesis, Characterization and Lyophilization Cake Characteristic* (Doctoral dissertation, University of North Carolina Wilmington).
14. Bhandari, S. V., Bothara, K. G., Raut, M. K., Patil, A. A., Sarkate, A. P., & Mokale, V. J. (2008). Design, synthesis and evaluation of antiinflammatory, analgesic and ulcerogenicity studies of novel S-substituted phenacyl-1, 3, 4-oxadiazole-2-thiol and Schiff bases of diclofenac acid as nonulcerogenic derivatives. *Bioorganic & medicinal chemistry*, 16(4), 1822-1831.
15. Shah, S., Kazmi, N. S., Jabeen, A., Faheem, A., Dastagir, N., Ahmed, T., ... & Perveen, S. (2018). Diclofenac 1, 3, 4-oxadiazole derivatives; biology-oriented drug synthesis (BIODS) in search of better non-steroidal, non-acid antiinflammatory agents. *Medicinal Chemistry*, 14(7), 674-687.
16. Ibrahim, M. M., Elsaman, T., & Al-Nour, M. Y. (2018). Synthesis, anti-inflammatory activity, and in silico study of novel diclofenac and isatin conjugates. *International journal of medicinal chemistry*, 2018.
17. Suryawanshi, S. B., OSMAN, H. A., Shaikh, Y. I., & Nazeruddin, G. M. (2014). Synthesis of various esters of diclofenac (NSAIDs) as pro-drugs and their biological evaluation. *Chemical Science Transactions*, 3(2), 562-565.
18. Yahya S., Muthanna S., Sabah J., (2017). Synthesis and Evaluation of New Diclofenac Acid having 2-Azetidinone, *Der Pharma Chemica*, 9(20):44-49.
19. Sivaraj S., Muthumani P., Venkataraman S., Raamamurthy J., Siva R., Kumarnallasivan P. (2012). Design, molecular docking, synthesis and evaluation of some novel heterocyclic analogues of diclofenac as potent analgesic and anti-inflammatory agents with less ulcerogenicity. *Der Pharma Chemica*, 4(3):1339-1349
20. Aiello, E., Dattolo, G., Cirrincione, G., Plescia, S. E., & Daidone, G. (1979). Polycondensed nitrogen heterocycles. VII. 5, 6-Dihydro-7-h-pyrrolo [1, 2-D]-[1, 4] benzodiazepin-6-ones. A novel series of annelated 1, 4-benzodiazepines. *Journal of Heterocyclic Chemistry*, 16(2), 209-211.
21. Furniss B., Hannaford A., Smith P., Tatchell A. (1996). *Vogel's Textbook of Practical Organic Chemistry*, 5th Ed. London: Longman Science & Technical. pp. 695-697 & 699-704.
22. Williams D., Fleming I. (1987). *Spectroscopic Method In Organic Chemistry*, 4th Ed., Mc. Graw-Hill Maidenhead, London, 315, (1987).
23. Chavan, P. S., Nagarale, S. N., & Patil, M. V. (2017). Synthesis, Spectral Characterization and Antimicrobial Studies of New Hybrid Heterocyclic Compounds Bearing 1H-benzimidazol-2-yl Thiomethyl Motif. *Indian Journal of Pharmaceutical Sciences*, 79(3), 385-394.
24. Graham S., Craig F., Scott S. (2014). *ORGANIC CHEMISTRY*, 11th ed., p909.
25. Moulder B., Lewert W., & Rippon R. (1969). *Textbook of Microbiology*, 19th ed., Sannders, W.B. Comp. Ltd., Philadelphia, London, Toronto.

Synthesis, Characterization of some new 2,5-disubstituted-1,3,4-Oxadiazole Derived from Diclofenac acid and Evaluation of its Antibacterial Efficacy

Mohammed Hassan Ahmed*, Fadual Dawod Khalid

Department of Chemistry , Collage of Science, University of Tikrit

Article Information

Received: 09/03/2020

Accepted: 15/06/2020

Keywords:

*Diclofenac, Oxadiazole,
Heterocyclic, amines.*

Abstract

In this study, some 2,5-disubstituted-1,3,4-oxadiazole compounds derived from Diclofenac acid were synthesized. The work included synthesize of the methyl Diclofenac ester from the Diclofenac acid reaction with excess of absolute methanol (Fischer's Esterification) and then converting the ester to the Diclofenac acid hydrazide and then reacting the acid hydrazide with some carboxylic acids In the presence of Phosphoryl chloride to obtain offsets 2,5-disubstituted-1,3,4-oxadiazole derivatives (H_4-H_7). Then the compound (H_7) it was possible to react with some primary amines to obtain 2,5-disubstituted-4,3,1-oxadiazole amine compounds. It was diagnosed using FT-IR, 1H -NMR, ^{13}C -NMR and some physical properties. The results of the preliminary evaluation of the biological efficacy against two types of bacteria, the first (*Pseudomonas aeruginosa*) and the second (*Staphylococcus aureus*) showed that the synthesized compounds (H_4 , H_6 , H_{11} , H_{12}) often had an average inhibitory activity against these two types, while it was observed that the compounds (H_7 , H_8 , H_9 , H_{10}) have good inhibition effect against most of them, both compared to the standard inhibitor used.